

مدل یکپارچه تأمین، تولید و توزیع محصولات در زنجیره تأمین ناب و حل آن با الگوریتم‌های ژنتیک و پرش قورباغه

مرتضی جبله^{۱*}، حسین علی حسن‌پور^۲

^۱. کارشناس ارشد، گروه مهندسی صنایع، دانشگاه جامع امام حسین، تهران، ایران (عهده‌دار مکاتبات)

^۲. استادیار، گروه مهندسی صنایع و لجستیک، دانشگاه جامع امام حسین، تهران، ایران

تاریخ دریافت: مهر ماه ۱۳۹۸، اصلاحیه: آذر ماه ۱۳۹۸، پذیرش: بهمن ماه ۱۳۹۸

چکیده

زنジره تأمین توالی مراحل مربوط به فرآیند تولید را بیان می‌کند، از تهیه مواد اولیه تا عرضه محصولات نهایی به بازار مشتری. در این پژوهش، مدل یکپارچه ریاضی برای برنامه‌ریزی، تأمین، تولید و توزیع محصولات در یک شبکه زنجیره تأمین ناب ارائه شده است. مدل پیشنهادی با در نظر گرفتن سطح نگهداری موجودی محصولات و عقد و فسخ قراردادها، هزینه‌های کل زنجیره تأمین را کاهش می‌دهد. زنجیره تأمین مورد مطالعه شامل چند محصول و چندین ماده اولیه با چهار سطح تأمین کنندگان، تولیدکنندگان و مشتریان در چند دوره زمانی است. مدل پیشنهادی، عقد و فسخ قرارداد برای تأمین کنندگان و تولیدکنندگان را برنامه‌ریزی می‌کند و نشان می‌دهد در چه دوره‌هایی باید عقد و فسخ قرارداد صورت گیرد. برای اعتبارسنجی مدل ریاضی از نرم‌افزار گمز استفاده شده است. سپس دو الگوریتم فرابتکاری شامل الگوریتم ژنتیک و پرش قورباغه ارائه شده است و برای اعتبارسنجی، نتایج آن‌ها با نرم‌افزار دقیق مقایسه شده است. در پایان با تحلیل حساسیت، رفتار مدل به ازای تغییر در پارامترهای اساسی مسئله مورد واکاوی قرار گرفته است.

واژه‌های اصلی: برنامه‌ریزی تأمین- تولید و توزیع، طراحی شبکه زنجیره تأمین ناب، الگوریتم ژنتیک، الگوریتم پرش قورباغه

هزینه‌های زنجیره تأمین و بررسی میزان عقد و فسخ قرارداد با تأمین

۱- مقدمه

کنندگان و تولیدکنندگان است [۱]. در این مقاله، پس از مروری بر ادبیات موضوع به تعریف مسئله پرداخته و در ادامه مدل ریاضی مسئله، مفروضات و محدودیت‌های آن بیان می‌شود. پس از اجرای مدل معرفی شده نتایج حاصل از مدل، تحلیل حساسیت و پیشنهادهایی در میانه مطالعات آتی ارائه خواهد شد.

۲- مرور ادبیات

مباحث مربوط به زنجیره تأمین در همه سازمان‌ها و در تمامی سطوح آن (تأمین کننده، تولیدکننده، توزیعکننده و...) از دیرباز از اهمیت و ضرورت ویژه‌ای برخوردار است. در این راستا پژوهش‌ها و تحقیقات گستردگای در مورد زنجیره تأمین چنددهده و در تمام سطوح آن صورت پذیرفته است که رویکردهایی مانند ناب بودن را موردنبررسی قرار داده‌اند. طی چند دهه گذشته، تحقیقات بسیاری در حوزه طراحی زنجیره تأمین انجام گرفته است، لیو و لی [۲] برای اولین بار در سال ۲۰۰۳ به مدل‌سازی این مسئله پرداختند. سجادی و داودپور [۳] در سال ۲۰۱۲ به ارائه یک شبکه زنجیره تأمین چند کالایی پرداختند که در آن نوع حمل و نقل،

*morteza.j89@gmail.com

در سازمان انجام گیرد. تمام ابزارهای، امکانات و تلاش‌ها در این زمینه برای بهبود کلیه فرآیندها و حرکت روبه‌جلو، مرتبط با مباحث زنجیره تأمین است که دغدغه قابل ملاحظه برای سازمان‌ها است. فلسفه ناب گویای آن است که شما باید محصولات، اقلام و خدمات موردنظر مشتری را با بیشترین کارایی ممکن در زمانی که مدنظر مشتری است تأمین و تولید کرده و در اختیار او قرار دهید. در حقیقت ناب بودن یعنی بیشینه کردن منابع انسانی بهمنظور کمینه کردن انواع ضایعات و تلفات و اراضی بهتر نیازهای مشتریان، درواقع مفهوم کلیدی فلسفه ناب استفاده از ابزارهای ساده برای کاستن ضایعات و کاهش هزینه در کلیه فعالیت‌های زنجیره تأمین است. هدف اصلی این تحقیق ارائه مدلی جامع برای کمینه کردن

چهار سطحی با چندین نوع محصول در چند دوره زمانی ارائه شده است. اهداف مسئله علاوه بر کمینه کردن کل هزینه‌های زنجیره، مقدار فروش از دست رفته محصولات در صورت عدم برآورده سازی تقاضای مشتریان را نیز به حداقل می‌رساند. به منظور حل مسئله از الگوریتم بهینه‌سازی اجتماع ذرات چنددهفه استفاده شده و نتایج حاصله با الگوریتم ژنتیک با مرتب‌سازی نامغلوب مقایسه شده است. حسن‌پور و جبله [۱۱] مدل تلفیقی شامل تصمیم‌گیری چندمعیاره و برنامه‌ریزی ریاضی را برای انتخاب تأمین‌کنندگان و توزیع کنندگان با قابلیت عقد و فسخ قرارداد در زنجیره تأمین ارائه کردند. ساختار ارائه شده مشکل از دو زیرمدل کیفی و کمی است. زیرمدل کیفی، با بهره‌گیری از فن اولویت‌بندی براساس تحلیل سلسه‌مراتبی به ارزیابی کیفی تأمین‌کنندگان و توزیع کنندگان می‌پردازد؛ سپس در زیرمدل کمی، عقد و فسخ قراردادها، میزان حجم سفارش‌دهی به تأمین‌کنندگان براساس اولویت‌های معین شده در مرحله کیفی با استفاده از برنامه‌ریزی ریاضی چنددهفه مشخص می‌شود. در پژوهش ذگردی و مرندی [۱۴] به بررسی زمان‌بندی یکپارچه تولید و توزیع در زنجیره تأمین سه مرحله‌ای شامل تولید کننده، ناوگان حمل و نقل کالاهای و مشتریان پرداخته شده است. مدل به صورت برنامه‌ریزی غیرخطی عدد صحیح آمیخته با هدف کمینه کردن هزینه‌های تاخیر تولید و هزینه‌های مسافت فرموله شده است. با توجه به سخت بودن مسئله از الگوریتم بهبودیافته بهینه‌سازی ازدحام ذرات (IPSO) استفاده شده است. در این الگوریتم از اپراتورهای بهبود 1-opt و 2-opt برای جستجوی گسترده فضای جواب و جلوگیری از همگراشدن سریع به جواب بهینه محلی استفاده شده است. به منظور اعتبارسنجی روش حل پیشنهادی، الگوریتم ارائه شده در ابعاد کوچک و بزرگ با جواب دقیق مقایسه شده که نتایج حاکی از برتری الگوریتم IPSO پیشنهادی و کارایی آن است.

توجه به هر سه بخش تأمین، تولید و توزیع در زنجیره تأمین در مقالات متعددی دیده می‌شود، مانند پژوهش چن و لی [۱۵] که حیطه مورد نظر را با تنها یک محصول در یک دوره مورد بررسی قرار داده و با توجه به ظرفیت اجزای مختلف زنجیره و تعداد قابل استفاده از هر کدام از امکانات، هزینه کل را مینیمم کرده است. چن و همکاران [۱۶] تقاضای احتمالی برای یک محصول در چند دوره زمانی با در نظر گرفتن سطح سرویس-دهی و ظرفیت هر یک از امکانات برای مینیمم‌سازی هزینه‌های زنجیره تأمین در نظر گرفته‌اند. چنگ و همکاران [۱۷] مسئله بهینه‌سازی تأمین مواد، تولید و توزیع محصول را برای یک تولید کننده و لجستیک شخص ثالث برنامه‌ریزی کرده‌اند. در مدل آن‌ها کمینه کردن هزینه‌های حمل و نقل و موجودی مواد، تولید و توزیع برای محصولات نیمه‌تمام در نظر گرفته شده است، این محصولات نیمه‌تمام دارای سه حالت مختلف هستند: در حالت اول، محصولات نیمه‌تمام دارای اندازه یکسان هستند و برای حل آن از یک الگوریتم بهینه استفاده شده است؛ در حالت دوم، محصولات نیمه‌تمام دارای زمان پردازش یکسان و الگوریتم تقریبی برای حل پیشنهاد شده است؛ در حالت سوم، محصولات نیمه‌تمام دارای اندازه و زمان پردازش دلخواه هستند و الگوریتم تقریبی برای حل آن استفاده

زمان تحويل و هزینه موجودی را در نظر گرفتند و هدف کمینه کردن هزینه‌ها بود. آلتیپارماک و همکاران [۴] یک مدل برنامه‌ریزی عدد صحیح غیرخطی برای طراحی زنجیره تکمحصولی با یک ماده اولیه و چهار سطح تأمین‌کنندگان، تولید کنندگان، توزیع کنندگان و مشتریان را در یک دوره زمانی معرفی کرده‌اند. در این مدل با فرض رضایت مشتری، تولید کننده و توزیع کننده مکان‌بایی شده‌اند. مدل موردنظر شامل سه هدف کمینه‌سازی هزینه‌های زنجیره تأمین، بیشینه‌سازی خدمات به مشتریان و تعادل ظرفیت بهره‌برداری است. این مدل با استفاده از الگوریتم ژنتیک حل شده است. صحرائیان و همکاران [۵] با فرض چند محصول و چند ماده اولیه، زنجیره تأمین ارائه شده از سوی آلتیپارماک و همکاران را ارتقاء دادند. فخرزاد و همکاران [۶] یک مدل برنامه‌ریزی عدد صحیح مختلط باهدف کاهش هزینه‌های کل زنجیره تأمین در افق برنامه‌ریزی را ارائه دادند. این هزینه‌ها شامل هزینه‌های تولید، خرید مواد اولیه، ضایعات، موجودی مواد اولیه و ... است؛ سپس برای حل مدل در ابعاد کوچک و با توجه به زمان حل از نرم‌افزار Lingo و برای حل مسائل در ابعاد بزرگ از فرالبتکاری ژنتیک استفاده شده است.

حقوقان زیادی در زمینه طراحی و مدل‌سازی اجزای مختلف مسئله یکپارچه تولید (تأمین)- توزیع به مطالعه پرداخته‌اند. در این راستا کاظمی و همکاران [۷] در تحقیقی با عنوان "ارائه مدلی بهمنظور برنامه‌ریزی یکپارچه تولید- توزیع در یک زنجیره تأمین" مدلی دو هدف برای مسئله تولید و توزیع یکپارچه در یک زنجیره تأمین سه سطحی برای چند نوع محصول و در طی چند دوره زمانی ارائه دادند. توابع هدف شامل کمینه کردن هزینه‌های زنجیره تأمین و هزینه‌های مربوط به انبارهای توزیع می‌شود. درنهایت برای حل مدل از روش LP- متریک استفاده شده است. ییلماز و کتی [۸] مسئله برنامه‌ریزی استراتژیک را برای یک شبکه تولید و توزیع سه مرحله‌ای ارائه کردند. مسئله موردنظر شامل چند تأمین‌کننده، تولید کننده و توزیع کننده است. این مدل برای یک محصول در یک شبکه تولید- توزیع با تقاضای قطعی و با هدف کمینه کردن هزینه‌های تولید، حمل و نقل و موجودی است. لیو و پاپاجورجیو [۹] یک مدل برنامه‌ریزی تولید- توزیع دو سطحی را با در نظر گرفتن همزمان هزینه، پاسخ‌دهی و سطح خدمت به مشتری ارائه دادند. آن‌ها بهمنظور حل مدل از دو روش ۴- محدودیت و لکسیکوگراف استفاده کردند. نیکنام- فر و همکاران [۱۰] مسئله برنامه‌ریزی تولید و توزیع با رویکرد بهینه سازی استوار را برای طراحی شبکه زنجیره تأمین سه سطحی پیشنهاد دادند. در این پژوهش، تقاضای مصرف کنندگان و هزینه‌های حمل و نقل در روش‌های مختلف حمل و نقل غیرقطعی است و از رویکرد بهینه‌سازی استوار استفاده شده است. در پژوهش سلطانی تهرانی و همکاران [۱۱] حالت چند دوره‌ای و چندمحصولی در زنجیره تأمین چندسطحی باهدف کاهش هزینه‌های اجاره مراکز، هزینه‌های حمل و نقل بین مراکز و هزینه پردازش داخل مراکز در نظر گرفته شده است. مدل پیشنهادی با استفاده از نرم‌افزار Cplex12.3 در قالب یک مطالعه موردي حل گردیده است. در پژوهش کاظمی و همکاران [۱۲] مدل ریاضی دو هدفه جدیدی برای مسئله برنامه‌ریزی یکپارچه تولید- توزیع در یک زنجیره تأمین

سپس برای مسائل در سایز بزرگ با الگوریتم‌های فرالبتکاری از دحام ذرات و رقابت استعماری حل شده است. ناگرونی [۲۴] طراحی مجدد شبکه زنجیره تأمین را به‌هدف حداقل کردن هزینه‌ها و اراضی تقاضای مشتریان مورد بررسی قرار می‌دهد. در مطالعه‌ی مذکور، شبکه‌ی زنجیره تأمین شامل مراکز تولید، انبار و مراکز پخش با تعیین سطح‌های مختلف ظرفیت و جریان مواد، طراحی مجدد می‌شود. آلتیپارماک و همکارانش [۲۵] در طراحی شبکه زنجیره تأمین، تصمیم‌گیری در مورد باز یا بسته بودن تسهیلات (کارخانه‌ها و مراکز پخش) و طراحی شبکه توزیع را با هدف کمینه کردن هزینه‌ها را مورد مطالعه قراردادند. زنجیره تأمین موردنظر چندسطحی، چندمحصولی است. اثربخشی روش مورداستفاده با نتایج به‌دست آمده از سیپلکس، ابتکاری، لاغرانث، الگوریتم ژنتیک و شبیه‌سازی تبرید برای مسائل با اندازه‌های مختلف مقایسه و ارزیابی شده است. در مدل بشیری و خراسانی [۲۶] رفتار عقد و فسخ قراردادها با تابع هدف و محدودیت‌هایی در این زمینه با استفاده از مدل ریاضی مورد تجزیه و تحلیل قرار گرفته است.

تحقیقات بسیاری در زمینه نابی زنجیره تأمین انجام شده است (مانند تحقیق کاظمی و همکاران [۷]) که هزینه‌هایی مانند تولید و آماده‌سازی، هزینه نگهداری موجودی محصول در اتبارها، هزینه‌های خرید و حمل و نقل برای تعداد محدودی از اجزای زنجیره تأمین در نظر گرفته‌اند؛ اما هزینه‌هایی مانند عقد و فسخ قرارداد و همچنین جریمه تأخیر در تحويل محصول نهایی برای اعضای زنجیره که می‌توانند بر فعالیت‌های افراد و سازمان‌ها تأثیر بگذارند و بیانگر نوع روابط، نحوه تعاملات، میزان اعتمادپذیری عناصر زنجیره‌ای باشند که در شرایط مختلف، با هم کار می‌کنند. در تحقیقات گذشته، این موارد بطور کلی و برای تمام اجزا در طراحی زنجیره‌های تأمین، ملاحظه نشده است.

در این پژوهش از مدل پیشنهادی کاظمی و همکاران [۷] به عنوان مدل اولیه استفاده شده است. در مدل آن‌ها، هزینه‌های تولید و آماده‌سازی، هزینه نگهداری موجودی محصول در اتبارها، هزینه‌های خرید و حمل و نقل برای تولیدکننده و هزینه‌های حمل و نقل و نگهداری موجودی در انبارهای توزیع کننده برای توزیع کننده‌گان در شبکه‌ای سه‌سطحی بررسی شده است. در پژوهش حاضر، یک شبکه چهار‌سطحی با در نظر گرفتن هزینه نگهداری موجودی و محصول، هزینه‌های خرید- تأمین و تولید، کننده‌گان مورد بررسی قرار گرفته است. همچنین هزینه عقد و فسخ قراردادها برای مرحله تأمین و تولید، جریمه تأخیر در تحويل محصول نهایی برای تمام اعضای زنجیره نیز در نظر گرفته شده است که در مطالعه کاظمی و همکاران به مدل سه‌هدفه، شامل هزینه‌های دوهدفه پژوهش کاظمی و همکاران به مدل سه‌هدفه، شامل هزینه‌های تأمین کننده‌گان، تولیدکننده‌گان و توزیع کننده‌گان توسعه داده شده است. در این راستا از فرالبتکاری کارایی پرش قورباغه در حل مسائل مختلف نیز استفاده شده است.

براین‌اساس، در مدل کاظمی و همکاران تغییراتی ایجاد شده است که در بخش روش تحقیق، نحوه مدل کردن مسئله مطرح می‌شود و مثال‌های

شده است. توکلی‌مقدم و همکاران [۱۸] مدل یکپارچه خرید، تولید و توزیع در قالب برنامه‌ریزی عدد صحیح مختلط فازی ارائه کردند. در ادامه برای حل مدل فازی از دو روش رتبه‌بندی اعداد فازی، به قطعی معادل آن تبدیل کردند. برای اعتبارسنجی و عملکرد مدل پیشنهادی، مدل با استفاده از داده‌های تصادفی تولید شده و با در نظر گرفتن داده‌های فازی و به ازای مقادیر مختلف α توسط نرم‌افزار لینگو حل شده است. اوسان و سالی [۱۹] یک زنجیره تأمین چنددهدۀ، چند محصولی و چندسطحی را با سه هدف پیشنهاد کردن سود سرمایه‌گزاران، کاهش ریسک و کمینه-کردن انتشار ضایعات محیطی در کل زنجیره تأمین پیشنهاد دادند. آن‌ها جهت حل مدل در ابعاد بزرگ از یک الگوریتم توسعه یافته tabu search استفاده کردند و نتایج بدست آمده با یکدیگر مقایسه شده است. چن و چانگ [۲۰] زنجیره تأمین سه سطحی را با چند تأمین کننده، چند تولیدکننده، چند مرکز توزیع و چند مرکز فروش در چند دوره زمانی مورد بررسی قراردادند. آن‌ها هزینه‌هایی مانند هزینه‌های خرید، تولید و توزیع را در نظر گرفتند. در تحقیق یوسفی و همکاران [۲۱] مدل ریاضی چنددهدۀ برای برنامه‌ریزی تولید ادغامی برای زنجیره تأمین برگشت‌پذیر طراحی شده است. زنجیره تأمین مورد مطالعه سه‌سطحی و شامل چندین تأمین کننده، یک تولیدکننده و تعدادی مشتری است. این زنجیره مشتشکل است از مرکز بازسازی برای اصلاح کالاهای مرجعی از مشتریان و مرکز نگهداری و تعمیرات برای ترمیم یا انهدام محصولاتی که مدت زمان گارانتی آنها سپری شده است و به وسیله مشتری عودت می‌شوند. در مدل پیشنهادی هدف نخست عبارت است از حداقل کردن هزینه‌ها (شامل هزینه‌های تولید کالا، تأمین، نگهداری و کمبود موجودی و هزینه‌های مرتبط با نیروی انسانی)، دومین و سومین هدف نیز به ترتیب حداکثر کردن رضایت مشتریان و رضایت تأمین کننده‌گان است. همچنین کیفیت محصولات تولیدی هدف دیگر مدل است. برای حل مدل پیشنهادی از روش P-L متریک و نرم‌افزار LINGO استفاده شده است. مدل پیشنهادی یکبار با مثال عددی و بار دیگر با استفاده از داده‌های واقعی برگرفته از زنجیره تأمین برگشت‌پذیر مربوط به یک صنعت Military حل شده است. ترابی و حسینی [۲۲] یک مدل چنددهدۀ برای برنامه‌ریزی خرید، تولید و توزیع در یک زنجیره تأمین چندسطحی، چندمحصولی و چنددوره‌ای را مطرح کردند، در حل مدل از روش دوفازی تعاملی استفاده شده است. در فاز اول، برنامه‌ریزی با به کار بردن راهبردهای مناسب به یک مدل چنددهدۀ تبدیل می‌شود. سپس یک روش جدید فازی TH برای پیدا کردن جواب‌های موجه بکار می‌رود. طهماسبی و همکاران [۲۳] یک مدل ریاضی برنامه‌ریزی خطی عدد صحیح مختلط تک‌هدفه را ارائه دادند که همزمان علاوه بر طراحی زنجیره تأمین چند سطحی، مسئله مکان‌یابی تسهیلات را نیز در نظر می‌گیرد. در این مدل اهداف مختلفی مانند کمینه‌سازی هزینه‌های بخش تأمین و تولید اجزای محصولات، تهیه و تولید محصولات، نگهداری و ارسال محصولات به مراکز توزیع، ارسال به مناطق مشتریان و هزینه استقرار کارخانه‌ها و مراکز توزیع وجود دارد. برای ارزیابی مدل پیشنهادی، ابتدا مدل ریاضی با نرم‌افزار بهینه‌سازی گمز کدنویسی شده و

دارد. ۲- زنجیره تأمین روبه‌جلو است و امکان بازگشت، بازسازی یا دورریز محصول وجود ندارد. ۳- پارامترهای مسئله موجود است و مدل برای شرایط قطعیت و اطمینان کامل طراحی شده است. ۴- ظرفیت تسهیلات مشخص است. ۵- زنجیره تأمین چهارسطحی، شامل تأمین‌کنندگان، تولیدکنندگان، توزیع‌کنندگان و مشتریان است. ۶- مکان‌های مربوط به سطوح زنجیره تأمین از قبل مشخص است. ۷- تمامی مراکز توزیع و مراکز مشتریان بدون نیاز به عقد و فسخ قرارداد هستند. ۸- هیچ الزامی وجود ندارد که تمامی قطعات اولیه برای یک کارخانه و محصولات نهایی برای مراکز توزیع تنها توسط یک تأمین‌کننده یا تولیدکننده برآورده شود. ۹- تمام نیاز مشتریان برآورده می‌شود. ۱۰- نگهداری موجودی در محل کارخانه‌ها و مراکز توزیع امکان‌پذیر است.

۲-۳-مجموعه‌ها

تعداد تأمین‌کنندگان	$f \in F$
تعداد تولیدکنندگان	$i \in I$
تعداد توزیع‌کنندگان	$j \in J$
تعداد مشتریان	$k \in K$
تعداد محصولات	$h \in H$
تعداد مواد خام	$r \in R$
دوره زمانی	$t \in T$

۳-۳-پارامترها

G_f حداقل تعداد مواد خام فرستاده شده از هر تأمین‌کننده به تولیدکننده-ها

G_i حداقل تعداد محصول نهایی فرستاده شده از هر تولیدکننده به توزیع-کنندگان

D_{kht} تقاضای محصول h در رده مصرف‌کننده k در دوره t

CM_{rh} ضریب مصرف ماده خام r در تولید محصول h

COS_{frt} هزینه تأمین ماده خام نوع r توسط تأمین‌کننده f در دوره t

COP_{int} هزینه تولید محصول نوع h توسط تولیدکننده i در دوره t

CHS_{irt} هزینه نگهداری موجودی ماده خام نوع r توسط تولیدکننده i در دوره t

CHP_{iht} هزینه نگهداری موجودی هر واحد محصول نوع h توسط تولیدکننده i در دوره زمانی t

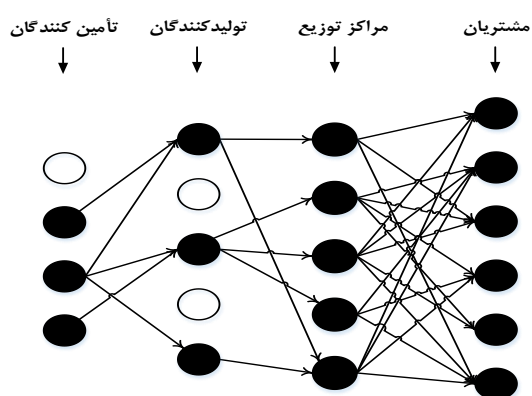
CHD_{jht} هزینه نگهداری موجودی هر واحد محصول نوع h توسط تولیدکننده i در دوره زمانی t

CSS_{frt} ظرفیت تأمین هر واحد ماده خام r توسط تأمین‌کننده f در دوره t

متعدد حل شده و نتایج آن با فرآیندهای مذکور مورد تجزیه و تحلیل قرار می‌گیرد. در بخش تحلیل حساسیت، تأثیر تغییر پارامترهای ضروری بر عقد و فسخ قراردادها انجام شده تا بررسی‌های جامعی در این زمینه نیز صورت گرفته باشد.

۳- تعريف مسائل

زنジره تأمین موردمطالعه، دربرگیرنده چهار سطح برای تأمین‌کنندگان، تولیدکنندگان، مراکز توزیع و مشتریان نهایی است. تصمیمات برای چند محصول و در طی چند دوره زمانی گرفته می‌شود. در این زنجیره، مواد اولیه توسط تأمین‌کننده با ظرفیت مشخص در دوره مربوطه برای تولیدکنندگان ارسال می‌شود. تولیدکنندگان بر اساس حجم مواد ورودی، ظرفیت و دوره مشخص زمانی تقاضای توزیع‌کنندگان را با توجه به تقاضای مشتریان تأمین می‌کنند. در نهایت این محصولات با توجه به تقاضای تولید می‌کند و حتی می‌تواند تمامی محصولات را نیز تولید کند. با توجه به در نظر گرفتن عقد و فسخ قرارداد برای تأمین‌کننده و تولیدکننده، شکل (۱) نمونه‌ای از شبکه زنجیره تأمین موردمطالعه با توجه به تأمین-کنندگان و تولیدکنندگان فعل را نشان می‌دهد. هدف این تحقیق برنامه‌ریزی تأمین، تولید و توزیع محصولات در یک زنجیره تأمین چهارسطحی با در نظر گرفتن اهداف، شامل کمینه کردن هزینه‌های کل زنجیره و به حداقل رساندن هزینه‌های موجود برای انبارها در هر سطح پیش‌بینی شده است. این اهداف در زنجیره تأمین می‌توانند غیر هم‌راستا باشند زیرا از یک سو هر سطح به دنبال کمینه کردن هزینه‌های کل زنجیره و از طرف دیگر به حداقل رساندن هزینه‌های سطح خود است؛ لذا کمینه کردن هزینه‌های یک سطح از زنجیره می‌تواند منجر به افزایش هزینه‌های کل زنجیره شود، بنابراین می‌توان سه هدف برای مسئله در نظر گرفت. در ادامه مدل‌سازی مسئله با ذکر جزئیات ارائه می‌گردد.



شکل (۱): شبکه زنجیره تأمین موردمطالعه با توجه به تأمین‌کنندگان و تولیدکنندگان فعل

۳-۱-فرضیات مدل

زنジره تأمین چند دوره‌ای است و به برنامه‌ریزی تولید و توزیع چند-محصول می‌پردازد که هر محصول برای تولید به چند ماده اولیه نیاز

اگر مجموع محصول فرستاده شده از تولیدکننده i به انبارها از G_{it} کمتر باشد، یک، در غیر این صورت صفر.

W_{ft} اگر در دوره t با تأمین‌کننده f عقد قرارداد داشته باشیم، یک، در غیر این صورت صفر است.

W_{it} اگر در دوره t با تولیدکننده i عقد قرارداد داشته باشیم، یک، در غیر این صورت صفر است.

\dot{W}_{ft} اگر در دوره t با تأمین‌کننده f فسخ قرارداد داشته باشیم، یک، در غیر این صورت صفر است.

\dot{W}_{it} اگر در دوره t با تولیدکننده i فسخ قرارداد داشته باشیم، یک، در غیر این صورت صفر است.

QS_{frt} تأمین ماده خام r توسط تأمین‌کننده f در دوره t

QP_{iht} تولید محصول h توسط تولیدکننده i در دوره t

QD_{jht} توزیع محصول h توسط توزیع‌کننده j در دوره t

IS_{irt} موجودی ماده خام r برای تولیدکننده i در دوره t

IP_{iht} موجودی محصول h برای تولیدکننده i در دوره t

ID_{jht} موجودی محصول h برای توزیع‌کننده j در دوره t

WS_{frt} اگر ماده خام r توسط تأمین‌کننده f در دوره t تأمین شود ۱ در غیر این صورت صفر است.

WP_{iht} اگر محصول h توسط تولیدکننده i در دوره t تولید شود ۱ در غیر این صورت صفر است.

۳-۵-توابع هدف و محدودیت‌ها

توابع هدف مدل به صورت زیر است:

$$F_1 = \text{Min} \left(\sum_{f=1}^F \sum_{t=1}^P F_{ft} * W_{ft} * (1 - W_{f,t-1}) \right. \\ \left. + \sum_{f=1}^F \sum_{t=1}^P \dot{F}_{ft} * \dot{W}_{ft} * W_{f,t-1} \right. \\ \left. + \sum_{f=1}^F \sum_{r=1}^R \sum_{t=1}^T \text{COS}_{frt} * QS_{frt} \right. \\ \left. + \sum_{f=1}^F \sum_{i=1}^I \sum_{r=1}^R \sum_{t=1}^T CTS_{firt} * X_{firt} \right. \\ \left. + \sum_{f=1}^F \sum_{i=1}^I \sum_{r=1}^R \sum_{t=1}^T TS_{firt} * X_{firt} * Q \right) \quad (1)$$

CPP_{iht} ظرفیت تولید هر واحد محصول h توسط تولیدکننده i در دوره t

CS_{frt} ظرفیت تأمین‌کننده f برای ماده خام r در دوره t

CP_{iht} ظرفیت تولیدکننده i برای محصول h در دوره t

CD_{jht} ظرفیت توزیع‌کننده j برای محصول h در دوره t

HD_{jht} ظرفیت نگهداری توزیع‌کننده j برای محصول h در دوره t

CTS_{firt} هزینه حمل ماده خام r از تأمین‌کننده f و تحول آن به مرکز تولید i در دوره t

CTP_{ijht} هزینه حمل و خرید هر واحد محصول h از تولیدکننده i به مرکز مرکز توزیع j در دوره t

CTD_{jikt} هزینه حمل هر واحد محصول h از توزیع‌کننده j به متصرف k در دوره t

TS_{firt} تعداد روزهای متحمل تأخیر در تأمین ماده خام r توسط تأمین‌کننده f و تحويل آن به تولیدکننده i در دوره t

TP_{ijht} تعداد روزهای تأخیر در تحويل محصول نهایی h توسط تولیدکننده i و تحويل آن به توزیع‌کننده j در دوره t

TD_{jukt} تعداد روزهای تأخیر در تحويل محصول نهایی h توسط توزیع‌کننده j و تحويل آن به مشتری k در دوره t

F_{ft} هزینه ثابت عقد قرارداد با تأمین‌کننده f در دوره t

F_{it} هزینه ثابت عقد قرارداد با تولیدکننده i در دوره t

\dot{F}_{ft} هزینه ثابت فسخ قرارداد با تأمین‌کننده f در دوره t

\dot{F}_{it} هزینه ثابت فسخ قرارداد با تولیدکننده i در دوره t

Q هزینه ثابت به ازای هر روز تأخیر در تحويل محصول نهایی

M یک عدد دلخواه بزرگ

۴-۳-متغیرهای تصمیم

X_{firt} تعداد ماده خام r فرستاده شده از تأمین‌کننده f به تولیدکننده i در دوره t

X_{ijht} تعداد محصول نهایی h فرستاده شده از توزیع‌کننده i به توزیع‌کننده j در دوره t

X_{jukt} تعداد محصول نهایی h فرستاده شده از توزیع‌کننده j به مشتری k در دوره t

G_f اگر مجموع مواد فرستاده شده از تأمین‌کننده f به کارخانه‌ها از کمتر باشد، یک، در غیر این صورت صفر.

سه جزء تابع هدف (۳) کمینه کردن هزینه‌های زنجیره تأمین را برای توزیع کننده در نظر می‌گیرد. جزء اول شامل هزینه‌های نگهداری موجودی محصول در محل انبارهای توزیع کننده است. جزء دوم شامل هزینه‌های حمل و نقل محصولات از توزیع کننده‌ها به مشتریان و جزء سوم نیز هزینه‌های جریمه تأخیر در تحویل محصولات نهایی توسط توزیع کننده به ازای هر روز است.

محدودیت‌های مدل به شرح زیر است:

$$\sum_{i=1}^I X_{fir t} \leq CS_{frt} * W_{ft} \quad \forall f, r, t \quad (4)$$

$$\sum_{j=1}^J X_{ijht} + IP_{iht} \leq CP_{iht} * W_{it} \quad \forall i, h, t \quad (5)$$

$$\sum_{k=1}^K X_{jkht} + ID_{jht} \leq CD_{jht} \quad \forall j, h, t \quad (6)$$

$$\sum_{j=1}^J X_{jkht} = D_{kht} \quad \forall k, h, t \quad (7)$$

$$CM_{rh} * \sum_{f=1}^F X_{fir t} - \sum_{j=1}^J X_{ijht} \geq 0 \quad \forall i, r, h, t \quad (8)$$

$$\sum_{i=1}^I X_{ijht} - \sum_{k=1}^K X_{jkht} = 0 \quad \forall h, j, t \quad (9)$$

$$\hat{W}_{ft} \leq W_{f,t-1} \quad \forall f, t > 1 \quad (10)$$

$$\hat{W}_{it} \leq W_{i,t-1} \quad \forall i, t > 1 \quad (11)$$

$$W_{ft} \geq (W_{f,t-1}) * (1 - \hat{W}_{ft}) \quad \forall f, t > 1 \quad (12)$$

$$W_{it} \geq (W_{i,t-1}) * (1 - \hat{W}_{it}) \quad \forall i, t > 1 \quad (13)$$

$$\sum_{i=1}^I X_{fir t} \leq G_f + M * (1 - Y_{ft}) \quad \forall f, r, t \quad (14)$$

$$\sum_{i=1}^I X_{fir t} \geq G_f - M * (Y_{ft}) \quad \forall f, r, t \quad (15)$$

$$(1 - W_{ft}) * (1 - \hat{W}_{ft}) + \hat{W}_{ft} = Y_{ft} \quad \forall f, t \quad (16)$$

$$\sum_{j=1}^B X_{ijht} \leq G_i + M * (1 - Y_{it}) \quad \forall i, h, t \quad (17)$$

$$\sum_{j=1}^B X_{ijht} \geq G_i - M * (Y_{it}) \quad \forall i, h, t \quad (18)$$

$$(1 - W_{it}) * (1 - \hat{W}_{it}) + \hat{W}_{it} = Y_{it} \quad \forall i, t \quad (19)$$

$$W_{ft} + \hat{W}_{ft} \leq 1 \quad \forall f, t \quad (20)$$

$$W_{it} + \hat{W}_{it} \leq 1 \quad \forall i, t \quad (21)$$

تابع هدف (۱) شامل پنج جزء است که بیانگر کمینه کردن هزینه‌های زنجیره برای تأمین کننده است. جزء اول و دوم هزینه‌های عقد و فسخ قرارداد با تأمین کننده‌ها است. جزء سوم شامل هزینه‌های تأمین ماده خام توسط تأمین کننده‌ها، جزء چهارم شامل هزینه‌های حمل و نقل مواد خام از تأمین کننده‌ها به مراکز تولید و جزء پنجم نیز هزینه‌های جریمه تأخیر در تحویل محصولات نهایی توسط تأمین کننده به ازای هر روز است.

$$\begin{aligned} F_2 = Min & \left(\sum_{i=1}^N \sum_{t=1}^P F_{it} * W_{it} * (1 - W_{i,t-1}) \right. \\ & + \sum_{i=1}^N \sum_{t=1}^P \hat{F}_{it} * \hat{W}_{it} * W_{i,t-1} \\ & + \sum_{i=1}^I \sum_{h=1}^H \sum_{t=1}^T COP_{iht} * QP_{iht} \\ & + \sum_{i=1}^I \sum_{r=1}^R \sum_{t=1}^T CHS_{irt} * IS_{irt} \\ & + \sum_{i=1}^I \sum_{h=1}^H \sum_{t=1}^T CHP_{iht} * IP_{iht} \\ & + \sum_{i=1}^I \sum_{j=1}^J \sum_{h=1}^H \sum_{t=1}^T CTP_{ijht} * X_{ijht} \\ & \left. + \sum_{i=1}^I \sum_{j=1}^J \sum_{h=1}^H \sum_{t=1}^T TP_{ijht} * X_{ijht} * Q \right) \end{aligned} \quad (3)$$

تابع هدف (۲) شامل پنج جزء است و کمینه کردن هزینه‌های زنجیره تأمین را برای تولید کننده در نظر می‌گیرد. جزء اول و دوم هزینه‌های عقد و فسخ قرارداد با تولید کننده‌ها است. جزء سوم شامل هزینه‌های تولید، جزء چهارم و پنجم شامل هزینه‌های نگهداری مواد اولیه و محصول نهایی در محل انبارهای تولید کننده است. جزء ششم نیز هزینه‌های خرید و حمل و نقل محصولات از تولید کننده‌ها به مراکز توزیع را بررسی می‌کند و جزء هفتم شامل هزینه‌های جریمه تأخیر در تحویل محصولات نهایی توسط تولید کننده به ازای هر روز است.

$$\begin{aligned} F_3 = Min & \left(\sum_{j=1}^J \sum_{h=1}^H \sum_{t=1}^T CHD_{jht} * ID_{jht} \right. \\ & + \sum_{j=1}^J \sum_{k=1}^K \sum_{h=1}^H \sum_{t=1}^T CTD_{jkht} * X_{jkht} \\ & \left. + \sum_{j=1}^J \sum_{k=1}^K \sum_{h=1}^H \sum_{t=1}^T TD_{jkht} * X_{jkht} * Q \right) \end{aligned} \quad (3)$$

تأمین‌کننده/ تولیدکننده در ابتدای دوره یا عقد قرارداد داریم و یا فسخ قرارداد. محدودیت (۲۲)، نشان می‌دهد که در صورت داشتن قرارداد با یک تأمین‌کننده در یک دوره باید مقدار عرضه مواد اولیه از آن تأمین‌کننده حداقل برابر با مقدار ارسال از آن تأمین‌کننده به همه تولیدکنندگان باشد. محدودیت (۲۳) مربوط به حداقل مقدار عرضه توسط تأمین‌کنندگان فعال است. محدودیت (۲۴) بیان می‌کند که قبل از اینکه محصول h از تولیدکننده به توزیع‌کننده ارسال شود، باید راهنمایی و تولید آن انجام گیرد. محدودیت (۲۵) بیانگر حداقل ظرفیت تولید محصول در هر کارخانه فعال است. محدودیت (۲۶) حداقل ظرفیت در مراکز توزیع را نشان می‌دهد. محدودیت‌های (۲۷)، (۲۸) و (۲۹) نیز محدودیت‌های تعادلی موجودی محصول h در سطوح تأمین‌کننده‌ها، کارخانه‌ها و مراکز توزیع است؛ به طور نمونه در محدودیت (۲۸)، میزان موجودی در هر دوره برای محصول h و برای تولیدکننده i برابر است با میزان موجودی مازاد دوره قبل بعلاوه مقدار تولید محصول در آن دوره منهای مقادیر ارسالی از تولیدکننده i به تمامی توزیع‌کنندگان در دوره مربوطه است. محدودیت (۳۰)، متغیرهای غیر منفی مسئله را نشان می‌دهد و در پایان محدودیت (۳۱) متغیرهای صفر و یک را نشان می‌دهد.

۴- مدل خطی مسئله

همان‌طور که دیدیم مدل ارائه شده در بخش قبلی بصورت غیرخطی بود. با توجه به این که معادلات دارای متغیرهای صفر و یک، رابطه غیرخطی ایجاد کرده‌اند لذا در این قسمت تمام روابط غیرخطی مدل ریاضی با استفاده از روابط (۳۲)، (۳۳) و (۳۴) به مدل خطی تبدیل می‌شوند [۲۶].

$$Z = X * Y \quad (32)$$

با محدودیت‌های زیر:

$$2Z \leq X + Y \quad (33)$$

$$Z \geq X + Y - 1 \quad (34)$$

با استفاده از فرمول‌های بالا جزء اول و دوم توابع هدف (۱) تا (۲) و محدودیت‌های (۱۲) و (۱۳)، (۱۶) و (۱۹) به صورت زیر به حالت خطی تبدیل می‌شوند.

جزء اول تابع هدف (۱):

$$\sum_{f=1}^F \sum_{t=1}^P F_{ft} * W_{ft} * (1 - W_{f,t-1}) = \sum_{f=1}^F \sum_{t=1}^P F_{ft} * W_{it} - F_{ft} * W_{ft} * W_{f,t-1} \quad (35)$$

عبارت $W_{1(f,t,t-1)} * W_{ft} * W_{f,t-1}$ غیرخطی است لذا این حاصل ضرب را عبارت می‌نامیم و تابع هدف را بصورت زیر، خطی می‌کنیم.

$$\sum_{f=1}^F \sum_{t=1}^P (F_{ft} * W_{ft} - F_{ft} * W_{1(f,t,t-1)}) \quad (36)$$

با محدودیت‌های زیر:

$$\sum_{i=1}^I X_{firt} \leq QS_{firt} * W_{ft} \quad \forall f, r, t \quad (22)$$

$$QS_{firt} \leq CSS_{firt} * WS_{firt} * W_{ft} \quad \forall f, r, t \quad (23)$$

$$\sum_{j=1}^J X_{ijht} \leq M * WP_{iht} \quad \forall i, h, t \quad (24)$$

$$QP_{iht} \leq CPP_{iht} * WP_{iht} * W_{it} \quad \forall i, h, t \quad (25)$$

$$QD_{jht} \leq HD_{jht} \quad \forall j, h, t \quad (26)$$

$$IS_{irt} = IS_{ir,t-1} + \sum_{f=1}^F X_{firt} - \sum_{h=1}^H CM_{rh} * QP_{iht} \quad \forall i, r, t > 1 \quad (27)$$

$$IP_{iht} = IP_{ih,t-1} + QP_{iht} - \sum_{j=1}^J X_{ijht} \quad \forall i, h, t > 1 \quad (28)$$

$$ID_{jht} = ID_{jh,t-1} + \sum_{i=1}^I X_{ijht} - \sum_{k=1}^K X_{jkht} \quad \forall j, h, t > 1 \quad (29)$$

$$X_{firt}, X_{ijht}, X_{jkht}, QS_{firt}, QP_{iht}, QD_{jht}, \\ IS_{irt}, IP_{iht}, ID_{jht} \geq 0 \quad (30)$$

$$Y_{ft}, Y_{it}, W_{ft}, W_{it}, \dot{W}_{ft}, \dot{W}_{it}, WS_{firt}, WP_{iht} \in \{0,1\} \quad (31)$$

$$f = 1, \dots, F, \quad 1, \dots, I, \quad j = 1, \dots, J, \quad k = 1, \dots, K \\ t = 1, \dots, T, \quad h = 1, \dots, H, \quad = 1, \dots, R$$

محدودیت (۴) بیان می‌کند که مقدار مواد خامی که از تأمین‌کننده فعال در هر دوره به تمام تولیدکنندگان ارسال می‌شود باید از ظرفیت آن تأمین‌کننده بیشتر باشد. محدودیت (۵) همانند قبیل بیان می‌کند که موجودی و تعداد محصولی که در هر دوره از هر تولیدکننده فعال به مراکز توزیع فرستاده می‌شود باید از ظرفیت آن تولیدکننده بیشتر باشد؛ همچنین محدودیت (۶) این شرایط را برای توزیع‌کننده نیز در نظر می‌گیرد. محدودیت (۷) نشان می‌دهد که باید تمامی تقاضاها برآورده شود. محدودیت (۸) نمایانگر این است که برای تولید محصولات نهایی باید با توجه به ضریب مصرف مواد اولیه بهاندازه کافی مواد اولیه داشته باشیم. در محدودیت و رابطه (۹) نشان می‌دهیم که تعداد محصولات نهایی فرستاده شده از تمام تولیدکنندگان باید بزرگ‌تر مساوی از تقاضای تمام انبارهای توزیع‌کننده باشد. محدودیت‌های (۱۰) و (۱۱) فسخ قرارداد با یک تأمین‌کننده و یا تولیدکننده را مبنی بر عقد قرارداد با آن‌ها در دوره، یا دوره‌های قبل می‌داند. روابط (۱۲) و (۱۳) بیان می‌کنند که عقد قرارداد با یک تأمین‌کننده و یا تولیدکننده در یک دوره وابسته به دوره‌ی قبیل آن‌هاست به‌گونه‌ای که در یک دوره در صورتی با آن‌ها عقد قرارداد داریم که یا در دوره‌ی قبل با آن‌ها فسخ قرارداد داشته باشیم و یا در دوره‌ی قبل با آن‌ها فسخ قرارداد داشته باشیم. محدودیت‌های (۱۴) تا (۱۹) بیانگر این است که اگر تعداد محصولات ارسالی از یک تأمین‌کننده/ تولیدکننده در یک دوره کمتر از مقدار مشخصی باشد در آن دوره باید با آن تأمین‌کننده/ تولیدکننده فسخ قرارداد داشته باشیم. روابط (۲۰) و (۲۱) بیان می‌کنند که در یک دوره نمی‌توان با یک تأمین‌کننده/ تولیدکننده، هم عقد و هم فسخ قرارداد داشته باشیم. درواقع برای یک

$$W_{5(f_t)} \geq \hat{W}_{ft} + W_{ft} - 1$$

محدودیت ۱۳

$$\begin{aligned} W_{it} &\geq (W_{i,t-1}) * (1 - \hat{W}_{it}) \Rightarrow W_{it} \geq W_{i,t-1} - W_{i,t-1} * \hat{W}_{it} \\ W_{it} &\geq W_{i,t-1} - W_{2(i,t,t-1)} \end{aligned} \quad (45)$$

با محدودیتهای زیر:

$$\begin{aligned} 2W_{2(i,t,t-1)} &\leq W_{i,t-1} + \hat{W}_{it} \\ W_{2(i,t,t-1)} &\geq W_{i,t-1} + \hat{W}_{it} - 1 \end{aligned} \quad (46)$$

محدودیت ۱۹

$$\begin{aligned} (1 - W_{it}) * (1 - \hat{W}_{it}) + \hat{W}_{it} &= Y_{it} \\ \Rightarrow 1 - W_{it} - \hat{W}_{it} + W_{it} * \hat{W}_{it} + \hat{W}_{it} &= Y_{it} \\ 1 - W_{it} + W_{5(it)} &= Y_{it} \end{aligned} \quad (47)$$

با محدودیتهای زیر:

$$\begin{aligned} 2W_{5(it)} &\leq \hat{W}_{it} + W_{it} \\ W_{5(it)} &\geq \hat{W}_{it} + W_{it} - 1 \end{aligned} \quad (48)$$

۵- روش حل پیشنهادی

در مطالعه مورد نظر، برای تأمین و تولید یک محصول، چندین تأمین-کننده و تولیدکننده وجود دارد و در دوره‌های مختلف ممکن است عقد و فسخ‌های گوناگونی با تولیدکنندگان داشته باشیم. بسیاری از توزیع-کنندگان، تعداد دوره‌های تأمین متعدد دارند، تعداد بسیار تأمین-کنندگان، تولیدکنندگان و حتی تنوع توزیع کنندگان نیز بر پیچیدگی مسئله مورد مطالعه در این پژوهش می‌افزاید؛ چیزی که مسئله را از نظر محاسباتی سخت می‌کند و نمی‌توان با روش‌های دقیق در زمان معقول به جواب رسید.

مسائل طراحی شبکه زنجیره تأمین که پژوهش موردنظر نمونه‌ای از آن است، به دلیل پیچیدگی‌های محاسباتی در گروه خانواده مسائل NP-hard قرار دارد. حل آن‌ها در ابعاد بزرگ، به کمک برنامه‌ریزی خطی و نرم‌افزارهای موجود امکان‌پذیر نیست یا به مدت زمان بیشتری نیاز است. توانایی حل مسائل NP-Hard در مدت زمان بسیار کم در مقایسه با روش‌های دقیق، کیفیت جواب بسیار بالا و نزدیک به بهینه و درنهایت فرار از بهینه محلی از دلایل اصلی استفاده از الگوریتم‌های فرالبتکاری برای مسئله موردنظر این پژوهش است. در این تحقیق از الگوریتم ژنتیک استفاده شده است و نتایج حاصله با الگوریتم پرش قورباغه مقایسه شده است.

۱-۱-۵- طراحی الگوریتم ژنتیک

الگوریتم ژنتیک روش بهینه‌سازی فرالبتکاری بر مبنای سازوکار انتخاب طبیعی و زادوولد موجودات زنده، جهت یک جستجوی تصادفی ولی جهت‌دار از میان فضای تصمیم‌گیری برای یافتن راه حل‌های بهینه جامع، استوار است. این الگوریتم بر پایه نظریه تکامل تدریجی داروین استوار است [۲۷] [۲۸].

۱-۱-۵-۱- معرفی کروموزوم

از آنجا که تعداد ۱۷ نوع متغیر تصمیم‌گیری در این مدل تعریف شده است، تنظیم ساختار کروموزوم مناسب؛ بسیار حیاتی می‌باشد. با بررسی-

$$2W_{1(f,t,t-1)} \leq W_{ft} + W_{f,t-1}$$

(۴۷)

$$W_{1(f,t,t-1)} \geq W_{ft} + W_{f,t-1} - 1$$

جزء دوم تابع هدف (۱):

$$\sum_{f=1}^F \sum_{t=1}^P \hat{F}_{ft} * \hat{W}_{ft} * W_{f,t-1} \quad (48)$$

$$\sum_{f=1}^F \sum_{t=1}^P \hat{F}_{ft} * W_{2(f,t,t-1)} \quad (49)$$

با محدودیتهای زیر:

$$2W_{2(f,t,t-1)} \leq \hat{W}_{ft} + W_{f,t-1} \quad (47)$$

$$W_{2(f,t,t-1)} \geq \hat{W}_{ft} + W_{f,t-1} - 1 \quad (48)$$

جزء اول تابع هدف (۲):

$$\sum_{i=1}^N \sum_{t=1}^P F_{it} * W_{it} * (1 - W_{i,t-1}) = \sum_{i=1}^N \sum_{t=1}^P F_{it} * W_{it} - F_{it} * W_{it} * W_{i,t-1} \quad (49)$$

عبارت $W_{it} * W_{i,t-1}$ غیرخطی است لذا این حاصلضرب را می‌نماییم و تابع هدف را بصورت زیر، خطی می‌کنیم.

$$\sum_{i=1}^N \sum_{t=1}^P (F_{it} * W_{it} - F_{it} * W_{1(i,t,t-1)}) \quad (37)$$

با محدودیتهای زیر:

$$2W_{1(i,t,t-1)} \leq W_{it} + W_{i,t-1} \quad (38)$$

$$W_{1(i,t,t-1)} \geq W_{it} + W_{i,t-1} - 1 \quad (38)$$

جزء دوم تابع هدف (۲):

$$\sum_{i=1}^N \sum_{t=1}^P \hat{F}_{it} * \hat{W}_{it} * W_{i,t-1} \quad (39)$$

$$\sum_{i=1}^N \sum_{t=1}^P \hat{F}_{it} * W_{2(i,t,t-1)} \quad (40)$$

با محدودیتهای زیر:

$$2W_{2(i,t,t-1)} \leq \hat{W}_{it} + W_{i,t-1} \quad (40)$$

$$W_{2(i,t,t-1)} \geq \hat{W}_{it} + W_{i,t-1} - 1 \quad (41)$$

محدودیتهای (۱۲) و (۱۳)، (۱۶) و (۱۹) به صورت زیر به حالت خطی تبدیل می‌شوند.

محدودیت ۱۲

$$\begin{aligned} W_{ft} &\geq (W_{f,t-1}) * (1 - \hat{W}_{ft}) \Rightarrow W_{ft} \geq W_{f,t-1} - W_{f,t-1} * \hat{W}_{ft} \\ W_{ft} &\geq W_{f,t-1} - W_{2(f,t,t-1)} \end{aligned} \quad (41)$$

با محدودیتهای زیر:

$$\begin{aligned} 2W_{2(f,t,t-1)} &\leq W_{f,t-1} + \hat{W}_{ft} \\ W_{2(f,t,t-1)} &\geq W_{f,t-1} + \hat{W}_{ft} - 1 \end{aligned} \quad (42)$$

محدودیت ۱۶

$$\begin{aligned} (1 - W_{ft}) * (1 - \hat{W}_{ft}) + \hat{W}_{ft} &= f_{it} \\ \Rightarrow 1 - W_{ft} - \hat{W}_{ft} + W_{ft} * \hat{W}_{ft} + \hat{W}_{ft} &= Y_{ft} \\ 1 - W_{ft} + W_{5(ft)} &= Y_{ft} \end{aligned} \quad (43)$$

با محدودیتهای زیر:

$$2W_{5(ft)} \leq \hat{W}_{ft} + W_{ft} \quad (44)$$

نمایش ماتریسی است که از حاصل ضرب ماتریس تقاضا برای هر کالا در ماتریس درصد تأمین تقاضای نقاط برای کالاهای مختلف بدست می‌آید. از آنجا که شبکه زنجیره تأمین مورد بررسی سه لایه‌ای است، سه ماتریس $I \times J \times K \times H \times T$ و $J \times K \times H \times T$ از اعداد تصادفی بین صفر و یک به ابعاد $I \times J \times K \times F \times R \times T$ و $R \times H \times K \times J \times F \times I \times T$ که ترتیب تعداد تأمین‌کننده، تولید‌کننده، توزیع‌کننده، مشتریان، محصول، مواد اولیه و دوره‌ها است، تولید می‌شود. سپس با ضرب کردن ظرفیت هر یک از مقاصد در سهم مریبوط به خود از هر منبع در هر مرحله، یک جواب اولیه برای مسئله تولید می‌شود. نحوه نمایش میزان کالاهای اختصاص یافته به هر نقطه‌ی توزیع، از مینیمم ظرفیت آن توزیع‌کننده منهای سطح موجودی آن توزیع‌کننده برای کالاهای مختلف در تمام دوره‌ها و حاصل ضرب مجموع تمام کالاهایی که از هر توزیع‌کننده به مشتریان فرستاده می‌شود، بدست می‌آید. میزان کالاهای اختصاص یافته به هر مرکز تولید، از مینیمم ظرفیت آن تولید‌کننده منهای سطح موجودی آن تولید‌کننده برای کالاهای مختلف در تمام دوره‌ها و حاصل ضرب مجموع تمام کالاهایی که از هر تولید‌کننده به توزیع‌کننده فرستاده می‌شود، بدست می‌آید.

۵-۳-عملگرهای ژنتیک

- عملگر تقاطع

در این تحقیق با توجه به اینکه کروموزوم‌های ارائه شده از نوع پیوسته هستند لذا از عملگر تقاطع محاسباتی^۱ که برای فضاهای پیوسته مناسب است، استفاده می‌شود. این عملگر برای دو والد x_1 و x_2 یک جفت فرزند کاندید بصورت زیر تعیین می‌کند.

$$\begin{aligned} Y_1 &= a * X_1 + (1 - a) * X_2 \\ Y_2 &= a * X_2 + (1 - a) * X_1 \\ a &= (\alpha_1, \alpha_2, \alpha_3, \dots, \alpha_n), \quad 0 \leq a \leq 1 \end{aligned} \quad (49)$$

برداری است که از متغیرهای تصادفی از بازه $[0, 1]$ بصورت یکنواخت گرفته شده است.

- عملگر جهش

برای کروموزوم‌های پیوسته‌ی ارائه شده در این تحقیق از جهش غیر یکنواخت^۲ استفاده شده است. در این جهش یک مقدار کوچک به مقدار فعلی زن اضافه می‌شود. مقدار اضافه شده بطور تصادفی از یک توزیع گوسی با میانگین صفر و انحراف معیار معلوم بدست می‌آید. برای والدی مانند h و فرزند h' جهش یافته k روابط زیر برقرار است.

$$\begin{aligned} \Delta x &\sim N(0, \delta^2) \\ k &= h + \Delta h \sim N(0, \delta^2) \\ k &= h + \delta N(0, 1) \end{aligned} \quad (50)$$

در معادله اخیر یک عدد نرمال استاندارد تولید می‌کنیم و سپس آنرا در h ضرب و به مقدار h اضافه می‌کنیم.

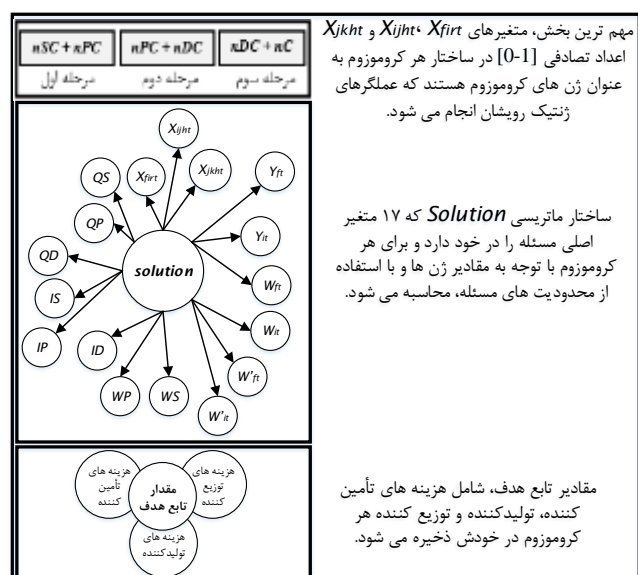
۵-۴-طراحی الگوریتم پرش قورباغه

الگوریتم پرش قورباغه آمیخته برای اولین بار در سال ۲۰۰۳ توسط یوسف و لانسی ایجاد شد. این الگوریتم مشابه GA و PSO یک الگوریتم

های انجام شده این نتیجه حاصل شد که قراردادن تمامی این ۱۷ نوع متغیر در ساختار کروموزوم، کار صحیح نیست و عملًا الگوریتم فرالبتکاری ژنتیک (و هر الگوریتم فرالبتکاری دیگر) را غیرکارا می‌کند. پس از بررسی‌های فراوان تصمیم گرفته شد که ۳ متغیر X_{ijht} ، X_{firt} و X_{jkht} را به عنوان متغیرهای موجود در کروموزوم انتخاب شود و ۱۴ متغیر دیگر با توجه به ۲۶ محدودیت موجود در مسئله، محاسبه شوند. بنابراین، ۳ متغیر X_{jkht} ، X_{ijht} و X_{firt} به عنوان «زن» در هر کروموزوم ذخیره خواهد شد.

در تحقیق حاضر، هر کروموزوم (جواب) شامل سه بخش است که مربوط به فرآیند روبه‌گلو در شبکه است. بخش اول که شامل $nSC + nPC$ زن است، مربوط به جریان بین مراکز تأمین و تولید است. بخش دوم که شامل $nPC + nDC$ زن است، نشان‌دهنده جریان بین مراکز تولید و توزیع است. بخش سوم کروموزوم با تعداد $nDC + nC$ زن تعیین‌کننده میزان جریان بین مراکز توزیع و مشتریان سیستم است.

برای عمومیت داشتن الگوریتم ژنتیک، استفاده کردن از متغیرهای X_{firt} ، X_{jkht} و X_{ijht} به صورت مستقیم؛ اصلًا قابل قبول نیست. زیرا مقدار ماتریس‌های این متغیرها، برای هر مسئله تفاوت می‌کند و این تفاوت باعث می‌شود که برای هر مسئله به عملگرهای جهش و تقاطع مخصوص به آن مسئله نیاز باشد. به همین دلیل در طراحی کروموزوم‌ها، X_{firt} و X_{jkht} به عنوان متغیرهایی با اعداد تصادفی در دامنه $[1 - 0]$ در نظر گرفته می‌شوند به طوری که سهمی از تقاضای D را برای هر لایه از زنجیره تأمین را نشان می‌دهند. لذا با توجه به مطالب بیان شده، ساختار کروموزوم در الگوریتم ژنتیک به صورت شکل (۲) می‌باشد.



شکل (۲): نمایش کروموزوم

۵-۱-۲-تولید جواب اولیه

نحوه نمایش، میزان کالاهای تحویل داده شده به هر نقطه تقاضا بصورت

1- Arithmetic Crossover
2- Non Uniform Mutation
3- Frog Leaping Algorithms

قرار می‌گیرد.

۵-۳- تنظیم پارامترهای فرابتکاری

در این تحقیق، در الگوریتم ژنتیک برای چهار پارامتر نرخ تقاطع، جهش، اندازه جمعیت نسل‌ها و تعداد تکرارها و در الگوریتم پرش قورباغه (SFLA) برای سه پارامتر تکرار جستجوی سراسری، تعداد ممپلکس‌ها، اندازه ممپلکس‌ها و دو پارامتر کنترلی الگوریتم FLA شامل تعداد تکرار حلقه داخلی و تعداد تکرار حلقه خارجی تنظیم پارامتر با استفاده از روش تاگوچی صورت می‌گیرد.

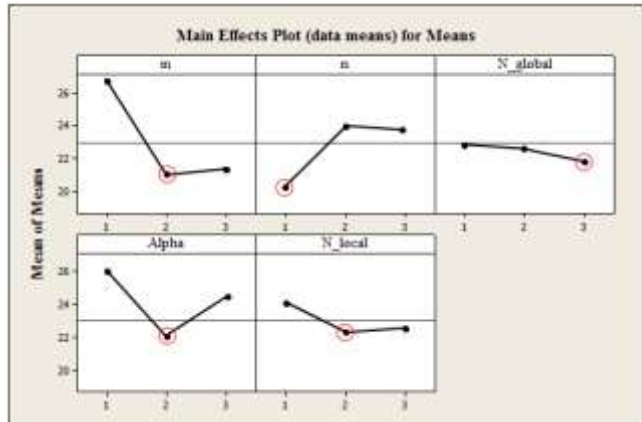
لازم به ذکر است که برای به دست آوردن تعداد جمعیتی که در هر تکرار الگوریتم درونی FLA لازم است از طریق زیر به دست می‌آید.

$$q = \max(\text{round}(0.5 * 2)) \quad (53)$$

برای تعیین عملکرد پارامترهای یک الگوریتم فرابتکاری از دو نمودار میانگین پاسخ‌ها^۱ و نمودار استواری جواب‌ها (نسبت سیگنال اغتشاشات) استفاده می‌شود که در اغلب موارد این دو نمودار نتایج یکسانی را ارائه می‌دهند.

در اکثر تحقیقات و مراجع، اولویت اول برای تنظیم پارامترهای الگوریتم‌ها، استفاده از نمودار S/N می‌باشد. برای تولید این نمودارها با توجه به اینکه مدل مورد بررسی مینیمم‌سازی است، از نسبت کوچکتر – بهتر استفاده شده است. در نمودار (۲) و (۴) هر چه مقدار میانگین بدست آمده برای پارامترها بیشتر باشد، مقدار آن پارامتر به بهترین مقدار خود نزدیک‌تر است و جواب‌های بهتری در اجرای الگوریتم ارائه می‌دهد؛ اما در نمودار (۱) و (۳) که منصوب به نمودار میانگین پاسخ‌هاست برای یک پارامتر، جواب ایده‌آل، کمترین مقدار میانگین‌ها است.

نمودارهای (۱) تا (۴) و همچنین جداول (۱) و (۲) نتایج روش تاگوچی جهت تنظیم پارامترهای دو الگوریتم مذکور را نشان می‌دهد.

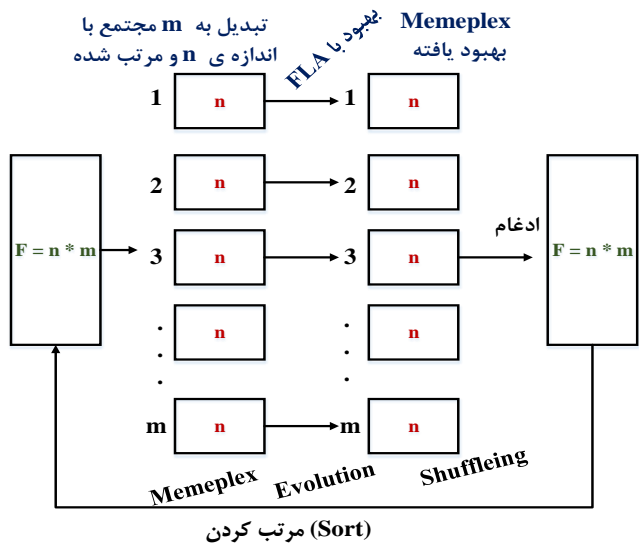


شکل (۴): میانگین جواب‌ها حاصل از نرم‌افزار مینی‌تب برای تنظیم پارامترهای SFLA

1- Mean of Means

2- Signal to noise ratio (S/N ratios)

بهینه‌سازی مبتنی بر جمعیت است که می‌توان آن را برای حل مسائل بهینه‌سازی پیچیده استفاده کرد. مهم‌ترین مزیت SFLA سرعت همگرایی بالای آن است. شکل (۳) مراحل الگوریتم پرش قورباغه را نشان می‌دهد [۲۹].



شکل (۳): فلوچارت مراحل الگوریتم SFLA

۵-۱- تولید جواب اولیه

نحوه تولید جواب اولیه در الگوریتم پرش قورباغه همانند الگوریتم ژنتیک است که در قسمت قبل توضیح داده شد.

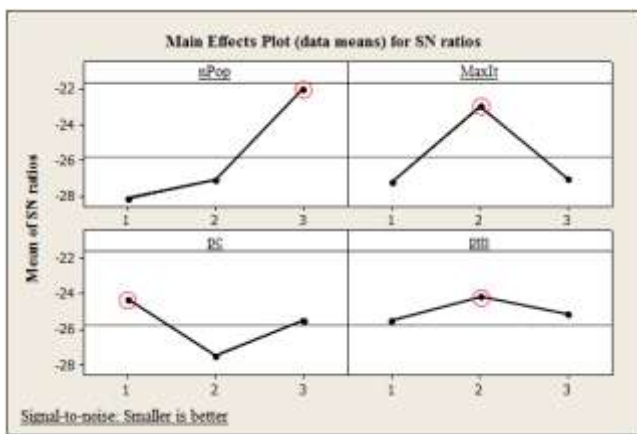
۵-۲- تولید جواب‌های جدید

بعد از این که جواب‌های اولیه الگوریتم پرش قورباغه با استفاده از روش ارائه شده، تولید شدند و جواب‌ها ارزیابی شدند، نوبت به تولید جواب‌های نسل بعد می‌رسد. نحوه تولید جواب‌های جدید در الگوریتم SFLA به این‌گونه است که اگر جواب i جواب j را مغلوب کرد، آنگاه جواب i به عنوان یک جواب بهتر شناخته شده (موقعیت بهترین قورباغه P_B) و جواب j (موقعیت بدترین قورباغه P_W) به سمت جواب i با استفاده از معادله (۳۴) و (۳۵) حرکت می‌کند، ولی به طور کامل به محل آن نمی‌رسد. دلیل آن هم وجود مقدار گامی است که هر قورباغه پس از پرش طی می‌کند.

$$X_q^{new} = p_W + S \quad (51)$$

$$S = rand * c * (p_B - p_W) \quad (52)$$

چنانچه با این تغییر بهبودی در میزان تابع هدف نسبت به حالت قبلی حاصل نگردد، دوباره محاسبات با استفاده از معادلات فوق انجام می‌گیرد، با این تفاوت که از P_X (موقعیت بهترین قورباغه در کل جمعیت) به جای P_B استفاده می‌شود. اگر دوباره بهبودی در میزان تابع هدف حاصل نشود، قورباغه جدیدی به طور تصادفی تولیدشده و به جای بدترین حالت



شکل (۷): میانگین نسبت اغتشاشات حاصل از نرم‌افزار مینی‌تب برای تنظیم پارامترهای GA

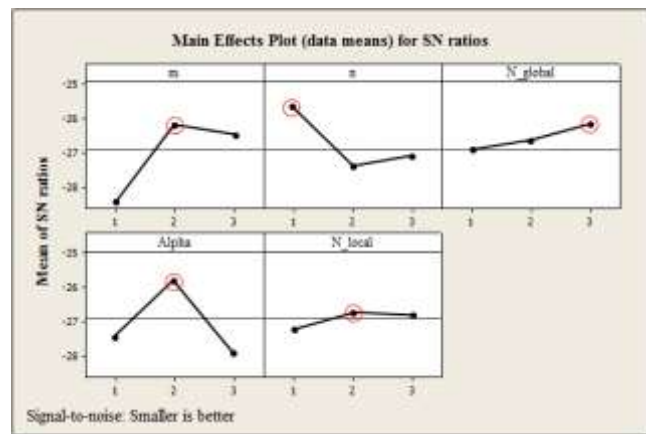
جدول (۲): پارامترهای کنترلی الگوریتم GA و سطوح آن

سطوح			GA
۳	۲	۱	
۱۰۰	۵۰	۳۰	جمعیت
۴۰۰	۷۰۰	۱۰۰۰	تعداد تکرار
۰,۸	۰,۷	۰,۸	احتمال تقاطع
۰,۲	۰,۳	۰,۳	احتمال جهش

در GA تعداد تکرار ۷۰۰، تعداد جمعیت هر نسل ۱۰۰، احتمال تقاطع ۰.۸ و احتمال جهش ۰.۳ است. همین طور برای پرش قورباغه و الگوریتم درونی آن تعداد ممپلکس‌ها ۸، جمعیت هر ممپلکس ۵، تعداد جستجوی سراسری ۵، تکرار حلقه داخلی ۴ و تعداد تکرار حلقه خارجی ۲ است.

۶- نتایج محاسباتی

بهمنظور حل مدل و اعتبارسنجی آن، دو الگوریتم فرآبتكاری شامل الگوریتم بهینه‌سازی زنتیک و پرش قورباغه راهه شده است. در این بخش نتایج بهدست‌آمده از پیاده‌سازی روش‌های حل پیشنهادی بر روی مسائل طراحی شده مورد بررسی قرار گرفته است. آزمایش‌ها بر روی ۱۰ مسئله در سه دسته کوچک، متوسط و بزرگ اجرا شده است (جدول ۳). بهمنظور پیاده‌سازی مسائل، پارامترهای ورودی در جدول (۴) نشان داده شده است. پارامتر الگوریتم‌های فرآبتكاری مطابق جدول (۱) و (۲) است. الگوریتم‌های موردنظر در نرم‌افزار MATLAB version 8.1.0.604 (R2013a) و ۳۶۳۲QM 2.2GHz Intel Core i7- کدنویسی و بر روی یک لپ‌تاپ با پردازنده چهار هسته ۴ گیگابایت حافظه اجرا شد.

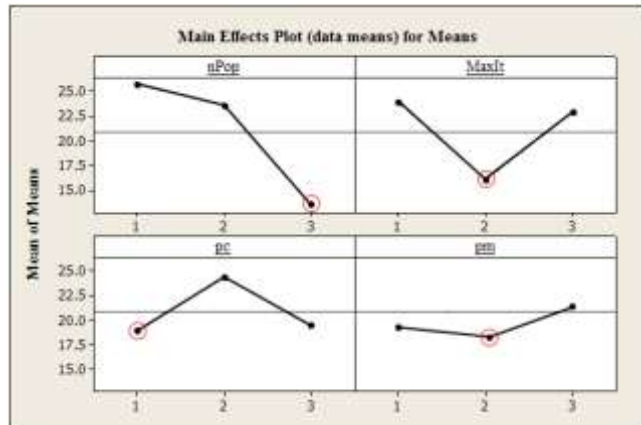


شکل (۵): میانگین نسبت اغتشاشات حاصل از نرم‌افزار مینی‌تب برای تنظیم پارامترهای SFLA

جدول (۱): پارامترهای کنترلی الگوریتم SFLA و سطوح آن

سطوح			SFLA
۳	۲	۱	
۱۰	۸	۹	تعداد ممپلکس‌ها (m)
۸	۷	۵	جمعیت هر ممپلکس (n)
۵	۷۰	۱۰۰	جستجوی سراسری
۴	۴	۵	تکرار حلقه داخلی
۴	۲	۳	تکرار حلقه خارجی
$F=m \cdot n$ (جمعیت کل قورباغه‌ها)			

و این مقادیر برای الگوریتم زنتیک بصورت زیر است.



شکل (۶): میانگین جواب‌ها حاصل از نرم‌افزار مینی‌تب برای تنظیم پارامترهای GA

جدول (۳): پارامترهای ورودی بهمنظر پیاده‌سازی مسائل

شماره مسئله	۱	۲	۳	۴	۵	۶	۷	۸	۹	۱۰
تأمین کننده	۲	۳	۴	۵	۵	۵	۵	۵	۵	۵
تولید کننده	۲	۲	۴	۴	۴	۶	۶	۷	۶	۷
توزیع کننده	۱	۳	۵	۶	۶	۷	۸	۶	۶	۸
مشتری	۳	۴	۶	۶	۷	۷	۷	۸	۸	۹
محصول	۲	۳	۳	۳	۳	۳	۳	۳	۴	۴
ماده اولیه	۲	۳	۲	۲	۲	۲	۲	۳	۳	۳
دورة	۲	۳	۳	۳	۳	۳	۳	۳	۳	۳

قبل از اقدام به حل مسائل با ابعاد بزرگ، لازم است از کارایی حل مسائل با اندازه کوچک و متوسط توسط الگوریتم‌های ژنتیک و پرش قورباغه اطمینان حاصل گردد. برای این منظور، مسائل با اندازه کوچک و متوسط توسط الگوریتم‌های معروف شده و نرمافزار GAMS 24.1.3/CPLEX حل شده و میزان انحراف ($D\%$) هر یک محاسبه شده است. عملکرد نسبی الگوریتم‌ها در حل مسائل کوچک و متوسط در مقایسه با حل دقیق در دو محور بهینگی و زمان حل در جدول (۵) آورده شده است. لازم به ذکر است در این پژوهش، مسائلی که زمان حل آن‌ها کمتر از ۱۰۰۰ ثانیه است، در حوزه مسائل کوچک و مسائل با زمان حل بین ۱۰۰۰ تا ۱۵۰۰ ثانیه، متوسط و مسائل بزرگ زمان حل بالای ۱۵۰۰ ثانیه را شامل می‌شود.

جدول (۴): ابعاد مسائل طراحی شده

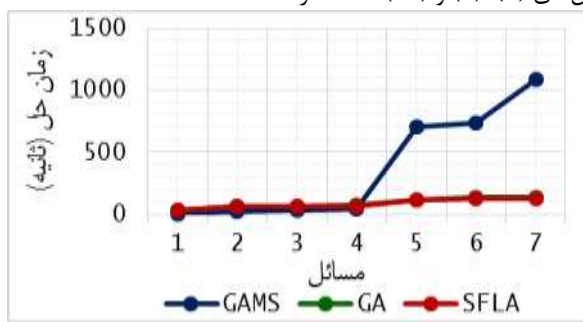
پارامتر	تابع توزیع	پارامتر	تابع توزیع	پارامتر
G_f	$U[90,100]$	HD_{jkt}	$U[100,100]$	
G_i	$U[100,15]$	CTS_{firt}	$U[100,100]$	
D_{kht}	$U[150,20]$	CTP_{ijkt}	$U[100,10]$	
CM_{r_h}	$U[200,25]$	CTD_{jkt}	$U[100,3]$	
COS_{frt}	$U[0,3]$	TS_{firt}	$U[100,15]$	
COP_{jkt}	$U[0,6]$	TP_{ijkt}	$U[100,20]$	
CHS_{ert}	$U[0,9]$	TD_{jkt}	$U[100,15]$	
CHP_{jkt}	$U[50,10]$	F_{jt}	$U[50,10]$	
CHD_{jkt}	$U[50,10]$	F_{it}	$U[100,5]$	
CSS_{frt}	$U[100,5]$	F_{jt}	$U[20430,20450]$	
CPP_{jkt}	$U[100,5]$	F_{it}	$U[1220,1240]$	
CS_{frt}	$U[100,90]$	CD_{jkt}	$U[20420,20430]$	
CP_{jkt}			$U[1210,1220]$	

جدول (۵): نتایج حل مسائل نمونه با اندازه متوسط توسط الگوریتم‌های فرآبتكاری و مقایسه آن با نتایج حل دقیق

شماره مسئله	اندازه مسئله	GAMS				GA				SFLA				مقایسه			
		تاریخ	زمان	تاریخ	زمان	تاریخ	زمان	تاریخ	زمان	تاریخ	زمان	تاریخ	زمان	تاریخ	زمان	تاریخ	زمان
۱/۱۴	۰/۰۰۵	۳/۳۱	۰/۰۰۲	۳۰/۷۶	۱۹۹۸۱۲	۳/۷۶	۰/۰۰۶	۳۵/۰۰	۲۰۰۷۲۸	۹/۳۰۲	۱۹۹۵۰۰	۱	مسئله کوچک	مسئله بزرگ			
۱/۰۹	۰/۰۰۳	۲/۳۹	۰/۰۰۲	۶۵/۲۱	۳۴۳۹۴۱	۲/۶۰	۰/۰۰۵	۷۰/۱۸۵	۳۴۴۹۷۱	۲۷/۲۳۱	۳۴۳۱۸۸	۲					
۱/۰۸	۰/۰۰۶	۲/۱۵	۰/۰۰۱	۶۵/۴۲	۲۸۳۳۱۴	۲/۳۳	۰/۰۰۶	۷۰/۹۷	۲۸۴۹۱۳	۳۰/۴۶۴	۲۸۳۱۰۵	۳					
۱/۰۹	۰/۰۰۱	۱/۳۸	۰/۰۰۲	۶۹/۱۱	۳۱۷۴۰۱	۱/۵۱	۰/۰۰۳	۷۵/۵۴	۳۱۷۸۱۵	۴۹/۹۱۲	۳۱۶۷۳۵	۴					
۱/۰۸	۰/۰۰۱	۱/۳۸	۰/۰۰۱	۳۰/۷۶	۱۹۹۸۱۲	۱/۵۱	۰/۰۰۳	۳۵	۲۰۰۷۲۸	۹/۳۰۲	۲۸۳۱۰۵	Min					

۱/۱۰	۰/۰۰۴	۲/۳۱	۰/۰۰۲	۵۷/۶۲	۲۸۶۱۱۷	۲/۵۵	۰/۰۰۵	۶۳/۹	۲۸۷۱۰۷	۲۹/۲۲۷	۲۳۵۷۵۷	Mean
۱/۱۴	۰/۰۰۶	۲/۳۱	۰/۰۰۲	۶۹/۱۱	۳۴۳۹۴۱	۳/۷۶	۰/۰۰۶	۷۵/۵۴	۳۴۴۹۷۱	۴۹/۹۱۲	۳۴۳۱۸۸	Max
۱/۰۶	۰/۰۰۰	۰/۱۶	۰/۰۰۲	۱۱۳/۹۲	۵۴۹۸۲۱	۰/۱۷	۰/۰۰۹	۱۲۰/۵	۵۵۳۹۰۱	۷۰۷/۰۱	۵۴۸۷۹۷	۵
۱/۰۶	۰/۰۰۰	۰/۱۷	۰/۰۰۴	۱۲۷/۰۱	۵۵۶۰۱۰	۰/۱۸	۰/۰۰۴	۱۳۵/۰۵	۵۵۶۰۹۷	۷۴۱/۲۱	۵۵۳۹۳۵	۶
۱/۰۶	۰/۰۰۴	۰/۱۲	۰/۰۰۶	۱۳۰/۵۹	۶۲۲۸۲۱	۰/۱۳	۰/۰۱۰	۱۳۸/۸۲	۶۲۵۱۷۸	۱۰۹۲/۷۳	۶۱۹۲۰۶	۷
۱/۰۶	۰/۰۰۰	۰/۱۲	۰/۰۰۲	۱۱۳/۹۲	۵۴۹۸۲۱	۰/۱۳	۰/۰۰۴	۱۲۰/۵۰	۵۵۳۹۰۱	۷۰۷/۰۱	۵۴۸۷۹۷	Min
۱/۰۶	۰/۰۰۱	۰/۱۵	۰/۰۰۴	۱۲۳/۸۴	۵۷۶۲۱۷	۰/۱۶	۰/۰۰۸	۱۳۱/۴۶	۵۷۷۰۵۹	۸۴۶/۹۸	۵۷۳۹۷۹	Mean
۱/۰۶	۰/۰۰۴	۰/۱۷	۰/۰۰۶	۱۳۰/۵۹	۶۲۲۸۲۱	۰/۱۸	۰/۰۱۰	۱۳۸/۸۲	۶۲۵۱۷۸	۱۰۹۲/۷۳	۶۱۹۲۰۶	Max
۱/۰۶	۰/۰۰۲	-	-	۱۶۹/۸۲	۷۵۳۱۴۲	-	-	۱۷۹/۳۳	۷۵۴۷۶۵	-	-	۸
۱/۰۷	۰/۰۰۳	-	-	۱۷۹/۱۱	۸۹۵۱۷۲	-	-	۱۹۲/۰۲	۸۹۸۲۳۶	-	-	۹
۱/۰۶	۰/۰۰۲	-	-	۲۰۹/۷۷	۱۱۰۷۳۴۸	-	-	۲۲۳/۰۶	۱۱۰۹۳۵۴	-	-	۱۰
۱/۰۶	۰/۰۰۲	-	-	۱۶۹/۸۲	۷۵۳۱۴۲	-	-	۱۷۹/۳۳	۷۵۴۷۶۵	-	-	Min
۱/۰۶	۰/۰۰۲	-	-	۱۸۶/۲۳	۹۱۸۵۵۴	-	-	۱۹۸/۱۴	۹۲۰۷۸۵	-	-	Mean
۱/۰۷	۰/۰۰۳	-	-	۲۰۹/۷۷	۱۱۰۷۳۴۸	-	-	۲۲۳/۰۶	۱۱۰۹۳۵۴	-	-	Max

کنند. نتایج جدول (۵) برای مسائل در ابعاد بزرگ نشان می‌دهد که نرم-افزار گمز برای رسیدن به یک جواب موضعی قابل قبول متوقف شده است، دلیل توقف فرآیند حل نرمافزار دقیق در مورد مسائل ۹ و ۱۰، از دیاد زمان اجرا از حد زمانی تعیین شده (۱۵۰۰) ثانیه است. این در حالی است که برای این سه مسئله نمونه، الگوریتم GA و SFLA توانسته‌اند در زمانی قابل قبول به همگرایی برسند. برای مقایسه آسان‌تر عملکرد سه روش ارائه شده در حل مسائل نمونه با اندازه کوچک و متوسط می‌توان از شکل‌های (۸)، (۹) و (۱۰) کمک گرفت.



شکل (۸): مقایسه زمان حل مسائل با روش فرالبتکاری و دقیق

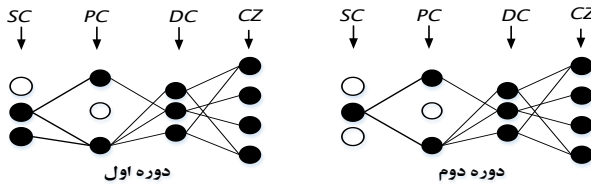
در شکل (۴) زمان رسیدن به جواب برای هفت مسئله ابتدایی توسط نرم-افزار گمز و الگوریتم‌های ژنتیک و پرس قورباغه را نشان داده شده است. نتایج حاکی از آن است که با افزایش ابعاد مسئله، زمان حل دقیق به صورت نمایی افزایش می‌یابد، این تغییرات برای فرالبتکاری‌های مذکور روند منظمی را طی می‌کند. روند صعودی فاصله از بهینگی نسبی جواب‌های به دست آمده $\frac{\text{Meta-GAMS}}{\text{GAMS}}$ و زمان حل $\frac{\text{Meta-GAMS}}{\text{GAMS}}$ برای مسائل کوچک و متوسط از شکل (۸) و (۹) قابل مشاهده است.

با توجه به ردیف Mean، الگوریتم ژنتیک در حل مسائل کوچک به طور میانگین ۰/۵ درصد از بهینگی فاصله دارد که در ۲۵۵ درصد از زمان حل دقیق به این نتایج رسیده است. در الگوریتم پرس قورباغه، فاصله از بهینگی ۰/۲ درصد در ۲۳۱ درصد زمان حل دقیق است. همچنین میانگین اختلاف جواب الگوریتم ژنتیک نسبت به پرس قورباغه ۱۱۰ درصد حاصل شده است.

در حل مسائل متوسط با توجه به ردیف Mean، مشاهده می‌گردد که الگوریتم فرالبتکاری GA توانسته است به طور میانگین به حدود ۰/۸ درصد فاصله از بهینگی در تنها ۱۶ درصد از زمان حل دقیق دست یابد. با اندکی تأمل متوجه کاهش ۲۳۹ درصد در میانگین زمان حل نسبی الگوریتم GA در مقایسه با حل دقیق در ازای افزایش ۰/۳ درصد در فاصله از میانگین بهینگی نسبی جواب‌های این دو الگوریتم، درنتیجه افزایش ابعاد مسائل از اندازه کوچک تا متوسط می‌شویم.

با توجه به ردیف Mean، الگوریتم SFLA توانسته است در حل مسائل متوسط به طور میانگین به حدود ۰/۴ درصد فاصله از بهینگی در تنها ۱۵ درصد از زمان حل دقیق دست یابد. در این قسمت نیز متوجه کاهش ۲۱۶ درصد در میانگین زمان حل نسبی الگوریتم SFLA در مقایسه با حل دقیق در ازای افزایش ۰/۲ درصد در فاصله از میانگین بهینگی نسبی جواب‌های این دو الگوریتم، درنتیجه افزایش جواب الگوریتم ژنتیک تا متوسط می‌شویم. همچنین میانگین اختلاف جواب الگوریتم ژنتیک نسبت به پرس قورباغه در حل این مسائل ۰/۱ درصد و زمان حل آن نسبت به پرس قورباغه ۱۰۶ درصد حاصل شده است. نتایج حاصل از مقایسه دو فرالبتکاری باهم نشان می‌دهد که هر دو الگوریتم تقریباً روند منظمی در زمان حل برای رسیدن به یک جواب قابل قبول سپری می-

تأمین‌کننده ۳، کاهش داده شده است. نتایج نشان داد که مدل در دوره دوم با تأمین‌کننده ۳ فسخ قرارداد کرد و تنها با تأمین‌کننده ۲ قرارداد دارد. شکل (۱۲) تأثیر میزان ظرفیت بر روی عقد و فسخ قراردادها را نشان می‌دهد.

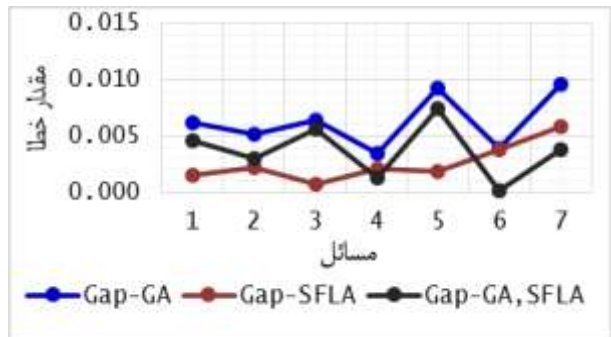


شکل (۱۲): زنجیره تأمین با تغییر میزان ظرفیت تأمین‌کنندگان

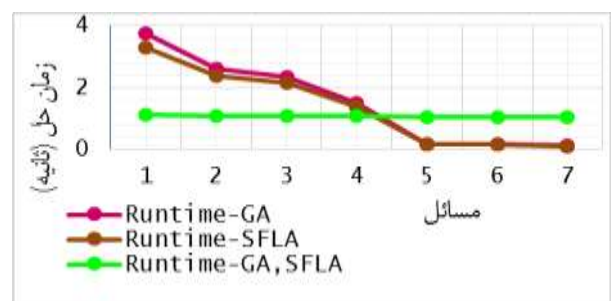
در واقع با توجه به محدودیت‌های ۱۴ و ۱۵ باید تعداد مواد خامی که از یک تأمین‌کننده گرفته می‌شود از مقدار خاصی کمتر نباشد درنتیجه با توجه به کاهش ظرفیت تأمین‌کننده ۳ مجبور به فسخ قرارداد با آن تأمین‌کننده هستیم و از آنجایی که ظرفیت تأمین‌کننده ۱ در دوره دوم به اندازه کافی است تنها با آن تأمین‌کننده در دوره دوم قرارداد می‌بنديم.

۸- نتیجه‌گیری

در این پژوهش، یک مدل یکپارچه ریاضی برای برنامه‌ریزی، تأمین، تولید و توزیع در طراحی یک شبکه زنجیره تأمین ناب باهدف حداقل سازی هزینه‌های زنجیره ارائه شده است. در مدل پیشنهادی سطح موجودی و میزان عقد و فسخ قراردادها برای دو سطح تأمین‌کننده و تولیدکننده در نظر گرفته شده است. برای اعتبارسنجی مدل و حل مسائل با بعد کوچک با آن از نرم‌افزار GAMS استفاده شده است. به دلیل NP-hard بودن مسائل در بعد بزرگ و با ارجاع به روش‌های حل مشابه، الگوریتم‌های فرالبتکاری GA و SFLA در کنار حل دقیق استفاده شد. با توجه به نتایج جدول (۵) می‌توان گفت که نرم‌افزار گمز قادر به ارائه جواب بهینه برای مسائل با اندازه کوچک با صرف زمان مناسب است؛ اما با افزایش بعد مسئله، زمان حل گمز بهصورت نمایی افزایش می‌یابد، درحالی‌که الگوریتم ژنتیک و پرسن قورباغه، قادر به حل مسئله در زمان قابل قبول هستند. با تحلیل‌های انجام‌گرفته و با افزایش پیچیدگی مسائل و همچنین مقایسه‌های انجام‌شده، الگوریتم پرسن قورباغه، الگوریتم کاراتر تعیین شده است. درزمنیه تحقیقات آتی می‌توان مدل‌سازی مسئله را بهصورت ترکیبی فازی احتمالی در نظر گرفت، اضافه کردن متغیرهای کمبود به مسئله، عقد و فسخ قرارداد با توزیع کنندگان و در نظر گرفتن معیارهای زیستمحیطی و شاخص‌های اجتماعی در تشکیل اهداف بهمنظور انطباق با شرایط واقعی از دیگر پیشنهادهای آتی در این زمینه است. این نوع پژوهش‌ها برای سازمان‌های لجستیکی که در زمینه محصولات و اقلام خدماتی فعالیت می‌کنند، مناسب است. بنابراین این سازمان‌ها می‌توانند در هنگام قرارداد با سایر شرکت‌های تولیدی و تأمینی جهت تأمین محصول مورد نیاز خود، راهکارها و سیاست‌های مدیریتی مناسبی را برای انتخاب شبکه زنجیره تأمین خود با توجه به تأمین‌کنندگان و تولیدکنندگان فعال اتخاذ نمایند. در این صورت با مدیریت



شکل (۹): روند بهینگی نسبی جواب‌های به دست آمده

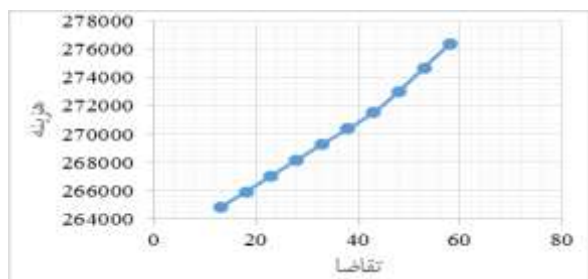


شکل (۱۰): روند بهینگی نسبی زمان حل

با توجه به جدول (۵) و شکل‌های (۸)، (۹) و (۱۰)، کارایی بهتر، دقت و سرعت همگرایی الگوریتم SFLA در مقابل الگوریتم GA هنگام افزایش ابعاد مسئله کاملاً محسوس است.

۷- تحلیل حساسیت

در این بخش تحلیل حساسیت در دو حالت تأثیر افزایش پارامتر تقاضا و ظرفیت مراکز تأمین و تولید بر روی تابع هدف و عقد و فسخ قراردادها موردبررسی قرار گرفته و نتایج مربوط به هرکدام بهصورت شماتیک نمایش داده شده است. شکل (۱۱) روند صعودی افزایش هزینه‌ها را نسبت به افزایش تقاضای مشتری مشتری یک برای محصول نوع سه در دوره اول و برای ده تکرار را نشان می‌دهد.



شکل (۱۱): حساسیت تابع هدف مدل نسبت به افزایش تقاضا

در بخش دوم تحلیل حساسیت، رفتار مدل به ازای تغییر ظرفیت مراکز تأمین و تولید و میزان عقد و فسخ قراردادها موردبررسی قرار گرفته است. در دوره دوم میزان ظرفیت تأمین‌کننده ۲، افزایش و میزان ظرفیت

تأمین کنندگان و تولیدکنندگان فعال شبکه خود می‌توانند مدیریت هزینه را نیز داشته باشند.

منابع و مأخذ

- Supply Chain Network Based on Lean, Agile and Pivotal values and Solving by Multi Objective Metaheuristic Algorithms.** Journal of Industrial Engineering (JIENG), vol. 52, no. 3, pp. 349-351
- [14] Zegordi, S. H., and Marandi, F. (Summer 2017). **Integrated Production Scheduling in Dairy Products with Improved Particle Swarm Optimization.** Journal of Transportation Engineering, vol. 8, no. 4, pp. 545-565.
- [15] Chen, C. L., and Lee, W. C. (2004). **Multi-objective Optimization of Multi-Echelon Supply Chain Networks With Uncertain Product Demands and Prices.** Computers & Chemical Engineering, vol. 28, no. 6, pp. 1131-1144.
- [16] Syarif, A., Yun, Y., and Gen, M. (2002). **Study on Multi-Stage Logistic Chain Network: a Spanning Tree-Based Genetic Algorithm Approach.** Computers & Industrial Engineering, vol. 43, no. 1, pp. 299-314.
- [17] Cheng, B, et al. (August 2019). **Integrated Optimization of Material Supplying, Manufacturing, and Product Distribution: Models and fast algorithms.** European Journal of Operational Research, vol. 227, no. 1, pp. 100-111
- [18] Pourrousta, A., Tavakkoli - Moghaddam, R., and Ebrahimnejad, S. (2013). **A Multi-product and Multi-Period Model for a Procurement-production- distribution in Supply Chain with Fuzzy Parameters.** Journal of Industrial Engineering, vol. 46, no. 2, pp. 147-158.
- [19] Mohammed, Awsan M., and Salih O. Duffuaa., (February 2020). **A Tabu Search Based Algorithm for the Optimal Design of Multi-Objective Multi-product supply chain Networks.** Expert Systems with Applications, vol. 140, Article 112808.
- [20] Chen, S. P. and Chang, P. C. (2006). **A Mathematical programming approach to Supply Chain Models With fuzzy parameters.** Engineering Optimization, vol. 36, no. 6, pp. 647-669.
- [21] yousefi, O, et al, (Summer and Autumn 2018). **Integrated Production-Distribution Planning in a Reverse Supply Chain via Multi-Objective Mathematical Modeling; Case study in a High-Tech Industry.** Production and Operations Management, vol. 9, no. 2, pp. 57-76.
- [22] Torabi, S. A. and Hassini, E. (2008). **An Interactive Possibilistic Programming Approach for Multiple Objective Supply Chain Master Planning.** Fuzzy Sets and Systems, vol..159, pp. 193 -214.
- [23] Amin-Tahmasbi, H., Badri, S. A., and Rezazadeh, B. (May 2019). **A Novel Mix Integer Linear Programming Model for design of multi-level Integrated supply chain.** Journal of Transportation Engineering, Accepted
- [24] Nagurney, A. (2010). **Optimal Supply Chain Network design and redesign at minimal total cost and with demand satisfaction.** int. J. Production Economics, vol. 128, no. 1, pp. 200-208.
- [25] Altiparmak, F. Gen, M. Lin, L. and Karaoglan, I. (2009). **A steady- state genetic algorithm for multi- product supply chain network design.** Computers & Industrial Engineering, vol. 56, no. 2, pp. 521-537
- [26] Bashiri, M. and Khorasani, H. J. (2015). **Multi-objective Supply chain network design with agility elements.** in Master's thesis, Tehran, Eyvanekey institute of higher education, pp. 1-133.
- [27] Haupt, Randy L., and Sue Ellen Haupt. (2004). **Practical genetic algorithms.**
- [28] Engelbrecht, Andries P. (2007). **Computational intelligence: an introduction.** John Wiley & Sons.
- [29] Eusuff, M., Lansey, K., & Pasha, F. (2006). **Shuffled frog-leaping algorithm: a memetic meta-heuristic for discrete optimization.** Engineering optimization. 38(2), 129-154
- [1] Jabale, M., and Hassan-Pour, H. A. (2017). **Design A Multi-Objective, Multi-Level Supply Chain Network Based on Agility and Values of the Organizational and Solving it with an Efficient Method.** In Master's Thesis, Tehran, Imam Hossein University, 1-250.
- [2] Liu, S. C., and Lee, S. B. (2003). **A Two-phase Heuristic Method for the Multi-depot Location Routing Problem Taking Inventory Control Decisions into Consideration.** Int. J. Advanced Manufacturing Technology, vol. 22, no. 11, pp. 941-950.
- [3] Sajjadi, H., and Davoudpour, H. (2012). **Two-Echelon, Multi-commodity Supply Chain Network Design With Mode Selection, Lead-times and Inventory Costs.** Computers & Operations Research, vol. 39, no. 7, pp. 1345-1354.
- [4] Altiparmak, F. Gen, M. Lin, L. and Paksoy, T. (2006). **A Genetic Algorithm Approach for Multi-Objective Optimization of Supply Chain Networks.** Computers & Industrial Engineering, vol. 51, no. 1, pp. 196-215.
- [5] Sahraeian, R. Bashiri, M. and Ramezani, M., (2010). **A Stochastic Multi-Product, Multi-Stage Supply Chain Design Considering Products Waiting Time in the Queue.** In Proceedings of the 2010 International Conference on Industrial Engineering and Operations Management, 577-583.
- [6] Fakhrzad, M. B. Sadeghiye, A. and Boroujeni, P. M. (2014). **Modeling the Production and Distribution in Three-Level Supply Chain Based on Lean Thinking and Its Solution Using Lingo and GA.** International Journal of Industrial Engineering & Production Management, vol. 25, no. 3, pp. 365-375.
- [7] Kazemi, A., Sarraha, K., and Alinezhad, A. R. (2014). **A Model to Integrated Production-Distribution Planning in a Supply Chain.** Journal of Development and evolution Management, vol. 6, no. 19, pp. 61-66
- [8] Yilmaz, P., and Çatay, B. (2006). **Strategic level three-stage production distribution planning with capacity expansion.** Computers & Industrial Engineering, vol. 51, no. 4, pp. 609-620.
- [9] Liu, S., and Papageorgiou, L. G. (2013). **Multi-Objective Optimisation of production, Distribution and Capacity Planning of Global Supply Chains in the Process Industry.** Omega, vol. 41, no. 2, 369-382
- [10] Amiri, M., Barzegar, M., and Niknam Far, A. H., (2016). **Integrated Production-Distribution Planning with a Robust Optimization Approach in the Three-level Supply Chain.** Journal of Industrial Management Perspective, no. 23, pp. 9-28
- [11] Soltani -Tehrani, M., Mosaddeghkhah, M., and Hassan-Pour, H. A. (2016). **Optimization of Closed-loop Supply Chain, Multi-level, Multi-product, Multi -Period to Reduce Costs in Supply Chain.** Iranian Journal of Supply Chain Management, vol. 18, no. 53, pp. 27-36
- [12] Sarraha, K., Kazemi, A., and Alinezhad, A. R. (2015). **Integrated Production-Distribution Planning Problem in a Multi-Echelon Supply Chain Network Design and Optimization: A Multi-Objective Evolutionary Approach.** International Journal of Industrial Engineering & Production Management, vol. 26, no. 3, pp. 283-289.
- [13] Hassan-Pour, H. A., and Jabale, M. (, 2018). **Design a**